

DEPARTEMEN PENDIDIKAN DAN KEBUDAYAAN  
DIREKTORAT JENDERAL PENDIDIKAN TINGGI  
UNIVERSITAS AIRLANGGA

35

## RESPON KRISTAL CAIR NEMATIK PADA ALIRAN GESER OSILASI

Ketua Peneliti :

Drs. Siswanto, M.Si.

Fakultas Matematika dan Ilmu Pengetahuan Alam

PAMERAN



LEMBAGA PENELITIAN UNIVERSITAS AIRLANGGA

Dibiayai Oleh : DIP OPE Unair 1994/1995

SK.Rектор Nomor : 5655/PT03.1/N/1994

Nomor Urut : 154

KRISTAL CAIR

IR-PERPUSTAKAAN UNIVERSITAS AIRLANGGA

DEPARTEMEN PENDIDIKAN DAN KEBUDAYAAN  
DIREKTORAT JENDERAL PENDIDIKAN TINGGI  
UNIVERSITAS AIRLANGGA

Kes  
ka  
548-9  
Res

## RESPON KRISTAL CAIR NEMATIK PADA ALIRAN GESEN OSILASI

MILIK  
PERPUSTAKAAN  
UNIVERSITAS AIRLANGGA  
SURABAYA

30004209631411

Ketua Peneliti :

Drs. Siswanto, M.Si.

Fakultas Matematika Dan Ilmu Pengetahuan Alam



30004209631411

LEMBAGA PENELITIAN UNIVERSITAS AIRLANGGA

Dibiayai Oleh : DIP OPF Unair 1994/1995  
SK.Rektor Nomor : 5655/PT03.1/N/1994  
Nomor Urut : 154

3000 426 963141

Departemen Pendidikan Dan Kebudayaan  
Direktorat Jenderal Pendidikan Tinggi  
Universitas Airlangga



## RESPON KRISTAL CAIR NEMATIK PADA ALIRAN GESEN OSILASI

Oleh :

Drs. Siswanto, M.Si.  
Drs. Djajadi, M.Eng.Sc.  
Drs. Adri Supardi, M.S.  
Drs. Pujiyanto, M.S.  
Drs. Hamdani

Fakultas Matematika Dan Ilmu Pengetahuan Alam

LEMBAGA PENELITIAN UNIVERSITAS AIRLANGGA

Dibiayai Oleh: DIP/OPF Unair 1994/1995  
SK. Rektor Nomor: 5655/PT03.H/N/1994

## RINGKASAN PENELITIAN

Judul : Respon Kristal Cair Nematik Pada Aliran Geser Osilasi

Ketua Peneliti : Siswanto

Anggota : Djajadi  
Adri Supardi  
Pujiyanto  
Hamdani

Fakultas : Matematika dan Ilmu Pengetahuan Alam,  
Universitas Airlangga

Dibiayai oleh : DIP Operasional Perawatan dan Fasilitas  
Universitas Airlangga Tahun 1994/1995  
SK. Rektor Nomor: 5655/PT03.H/N/1994

---

Dengan di temukannya kristal cair polimer sebagai material dalam berbagai teknologi, bahan ini menarik perhatian untuk diteliti sifat reologinya. Oleh adanya derajat penjajaran molekul, kristal cair polimer memiliki waktu relaksasi relatif lama dari pada cairan isotrop, sehingga menimbulkan efek viskoelastik.

Penelitian tentang kristal cair polimer yang mengalami osilasi kecil telah dibahas oleh Larson dan Mead, tetapi mereka mengabaikan efek viskoelastik yaitu efek distorsi Frank.

Fokus penelitian ini ditujukan pada peranan elastisitas Frank pada aliran geser osilasi. Pembahasanya dilakukan secara kuantitatif dan menggunakan asumsi bahwa bahan nematik terletak antara dua pelat sejajar yang tipis dan struktur nematik hanya mengalami distorsi kecil.

Dari hasil perhitungan dan analisis grafik diperoleh hasil sebagai berikut. Pada frekuensi rendah dan tinggi, respon didominasi oleh efek viskos sedangkan pada frekuensi menengah efek distorsi Frank berpengaruh pada respon makroskopiknya. Efek distorsi Frank ini terekspresikan melalui sifat viskoelastik yang digambarkan oleh kelakuan viskositasnya.

## KATA PENGANTAR

Puji syukur kami haturkan ke hadirat Alloh swt., karena atas karunia-Nya semata : penelitian OPF ini dapat diselesaikan.

Penelitian ini membahas kristal cair nematik dan neologinya. Bahan ini menarik perhatian karena sifat dan karakteristiknya yang berbeda dengan cairan biasa (isotrop). Secara fisis mereka bersifat fluida, tetapi memiliki juga sifat elastik, sehingga sering dinamakan bahan viskoelastik.

Nematik berkembang pesat dalam dua dasa warsa terakhir. Hal ini disebabkan konfigurasi molekulnya yang relatif sederhana dibanding kristal cair jenis lainnya. Bahan ini banyak digunakan dalam berbagai teknologi display.

Dikesempatan ini kami mengucapkan terima kasih kepada para anggota yang telah saling membantu sehingga penelitian ini bisa selesai. Tak lupa diucapkan terima kasih kepada pihak terkait atas kepercayaannya kepada kami untuk melakukan penelitian OPF ini. Semoga penelitian ini dapat bermanfaat bagi yang membacanya.

Surabaya, Oktober 1995

Peneliti

## DAFTAR ISI

<b>RINGKASAN PENELITIAN . . . . .</b>	<b>i</b>
<b>KATA PENGATAR . . . . .</b>	<b>ii</b>
<b>DAFTAR ISI . . . . .</b>	<b>iii</b>
<b>BAB I PENDAHULUAN . . . . .</b>	<b>1</b>
1.1. Latar Belakang . . . . .	1
1.2. Rumusan Masalah . . . . .	2
1.3. Tujuan Penelitian . . . . .	3
1.4. Manfaat Penelitian . . . . .	3
<b>BAB II KRISTAL CAIR . . . . .</b>	<b>4</b>
2.1. Klasifikasi Kristal Cair . . . . .	5
2.1.1. Nematik . . . . .	8
2.1.2. Kolesterik . . . . .	10
2.1.3. Smektik . . . . .	16
2.2. Parameter Keteraturan . . . . .	23
2.3. Kegunaan Kristal Cair . . . . .	25
2.4. Struktur Kimia Nematik . . . . .	26
<b>BAB III RESPON CAIRAN POLIMER NEMATIK . . . . .</b>	<b>28</b>
3.1. Aliran Geser . . . . .	28
3.2. Aliran Geser Osilasi . . . . .	30
3.2.1 Analisis Geometri . . . . .	31
3.2.2. Respon Aliran Nematik . . . . .	31
<b>BAB IV HASIL DAN PEMBAHASAN . . . . .</b>	<b>38</b>
<b>BAB V KESIMPULAN . . . . .</b>	<b>42</b>
<b>DAFTAR PUSTAKA . . . . .</b>	<b>43</b>

## BAB I

### PENDAHULUAN

#### 1.1. Latar Belakang

Kristal cair ditemukan pertama oleh Reitzner tahun 1811 (de Gennes, 1974). Bahan ini memiliki sifat dualisme; bersifat seperti cairan biasa dan bersifat sebagai kristal dalam keanisotropan optis, listrik dan magnetnya.

Berkaitan dengan struktur molekulnya, kristal cair dapat dibedakan menjadi nematic, kolesterolik dan smektik. Nematic memiliki struktur molekul paling sederhana dibandingkan dengan kolesterolik dan smektik. Selain itu strukturnya sangat labil, oleh gangguan eksternal yang relatif kecil nematic akan bertransisi menjadi cairan isotrop. Dengan alasan inilah penelitian ini difokuskan pada kristal cair nematic.

Nematic pada mulanya hanya digunakan untuk penelitian. Setelah diteliti tentang sifat optoelektroniknya, nematic mengalami perkembangan yang sangat pesat khususnya nematogen yang dapat mengalami elektrohidrodinamik (Castellano, 1979)

Dengan ditemukannya kristal cair polimer nematic sebagai material dalam berbagai teknologi, bahan ini menarik perhatian untuk diteliti sifat reologinya. Kelakuan dinamik sistem polimer lebih "komplit" dibandingkan cairan biasa [Wissbrun, 1981] Oleh adanya derajat penjajaran molekul, kristal cair polimer nematic memiliki waktu relaksasi relatif lama, yang akan menimbulkan efek viskoelastik.



Salah satu karakteristik dari nematik adalah sifat-sifat viskoelastiknya bergantung kuat terhadap arah orientasinya [de Gennes, 1974]. Hal ini telah dibuktikan oleh Larson dan Mead [Larson & Mead, 1989] dalam perhitungan viskoelastik linear dengan menggunakan model molekul Doi.

Dalam perhitungannya, Larson dan Mead mengabaikan perubahan spatial (spatial Variation) molekul-molekul penyusun nematik dengan arah orientasinya. Perubahan spatial ini berkaitan dengan elastisitas distorsi (elastisitas Frank) yang dapat diekspresso melalui energi bebasnya [Frank, 1983]. Dengan demikian, fokus penelitian ini ditujukan pada peranan elastisitas Frank dalam aliran geser osilasi. Diharapkan elastisitas Frank bersama dengan distorsi arah akan menentukan tanggapan makroskopik viskoelastik nematik.

### 1.2. Rumusan Masalah

Dari latar belakang yang telah diuraikan di atas, dapat ditarik rumusan masalah sebagai berikut.

1. Bagaimana pengaruh elastisitas Frank terhadap respon makroskopik nematik, terutama tentang viskositas dan modulusnya bila dikenakan aliran geser osilasi.
2. Bagaimana pengaruh frekuensi aliran osilasi pada respon makroskopiknya.

### 1.3. Tujuan Penelitian

Penelitian ini memiliki beberapa tujuan, antara lain ;

1. Mempelajari sifat-sifat dan karakteristik kristal cair, khususnya kristal cair nematik.
2. Mengetahui efek elastik distorsi (distorsi Frank) terhadap osilasi amplitudo kecil pada bahan polimer kristal cair nematik.
3. Ikut "bermain" dalam riset dan pengembangan Fisika material, khususnya di Universitas Airlangga.

### 1.4. Manfaat Penelitian

Penelitian ini diharapkan dapat melengkapi Interpretasi tentang kristal cair nematik, yang saat ini banyak digunakan dalam teknologi bahan. Selain itu dapat meningkatkan keterampilan dan profesionalisme peneliti dalam bidang penelitian.

## BAB II

### KRISTAL CAIR

Padatan kristal merupakan zat padat yang atom-atom atau molekul-molekulnya secara ideal mempunyai keteraturan susunan sempurna, baik posisinya yang periodik maupun orientasinya yang teratur dan terarah pada suatu arah tertentu. Pusat massa molekulnya terletak pada kisi periodik berdimensi tiga, sehingga pola difraksi sinar X kristal memperlihatkan refleksi Bragg yang tajam.

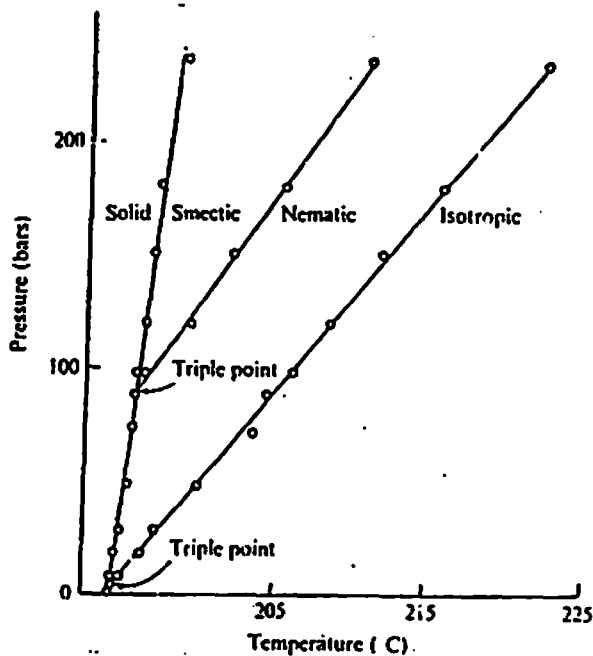
Cairan isotrop tersusun atas molekul-molekul yang tidak teratur, baik posisi maupun orientasinya. Pusat massa molekulnya tidak mempunyai keteraturan, dan mudah mengalir.

Istilah kristal cair menunjukkan suatu keadaan terkondensasi yang struktur atom-atom atau molekul-molekulnya terletak antara struktur kristal dan struktur cairan isotrop. Mereka mempunyai sifat mekanik dan sifat simetri antara cairan isotrop dan kristal. Oleh karena itu kristal cair sering dinamakan pula fase tengah (mesophase).

Bab ini akan membahas kristal cair, yaitu klasifikasi, sifat-sifat, dan strukturnya. Selanjutnya dengan pembahasan ini diharapkan dapat ditentukan gejala yang ditimbulkan pada keadaan tertentu, dan dapat diaplikasikan dalam teknologi.

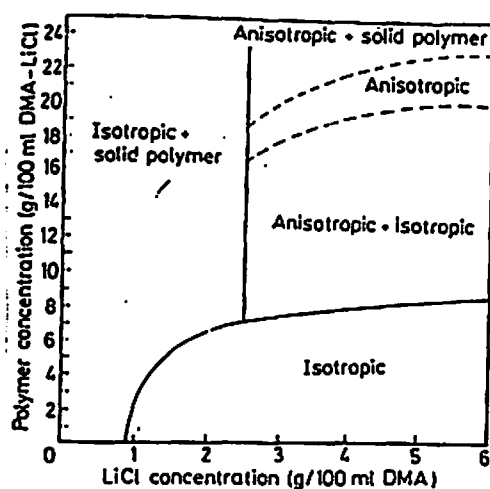
## 2.1. Klasifikasi Kristal Cair

Bila kristal padat dinaikkan temperaturnya, maka pada temperatur tertentu akan mencair menjadi kristal cair. Kristal cair yang diperoleh dengan cara peleahan ini dinamakan kristal cair termotropik (untuk selanjutnya ditulis KCT). Bila dipanaskan terus, KCT ini akan menjadi cairan isotrop. KCT ini memiliki molekul-molekul yang panjang dan tegar, semacam pelurus benang panjang dan berukuran panjang 1,5-4 nm (D. Tarigan, 1991). Pada KCT temperatur merupakan parameter utama yang menentukan perubahan fase. Tekanan dapat pula menyebabkan perubahan fase KCT, tetapi pengaruhnya tidak sekuat pengaruh temperatur (gambar 2.1). KCT biasanya banyak dijumpai pada molekul-molekul senyawa organik murni (de Gennes, 1974).

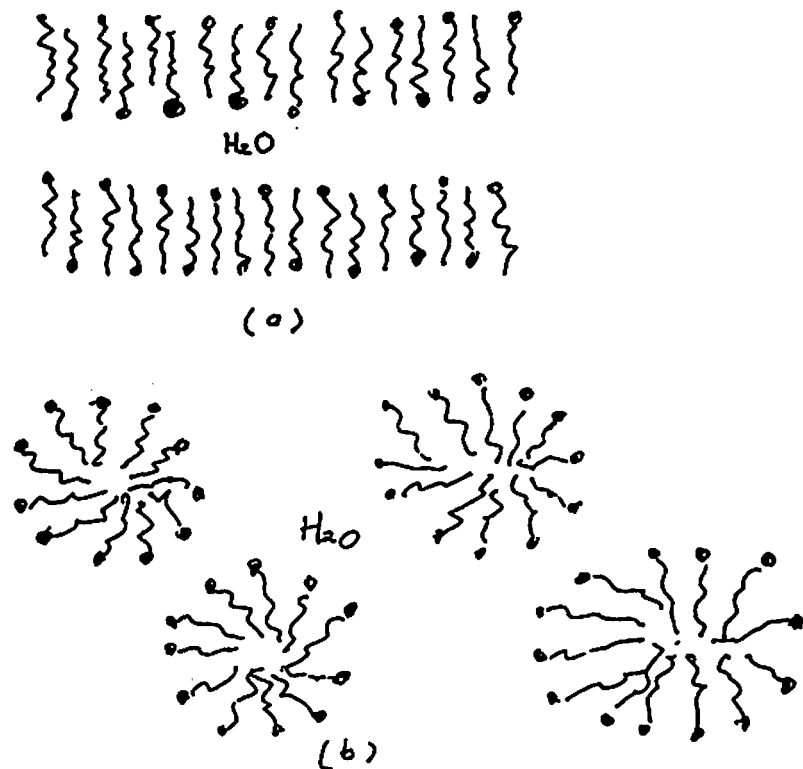


Gambar 2.1 Diagram fase asam para-ethoxybenzoat  
(sumber : Chandrasekhar, 1992, hal. 29)

Kristal cair dapat ditemui pula dalam sejumlah larutan polimer. Pada sistem tersebut parameter utama yang menentukan perubahan fase adalah konsentrasi (gambar 2.2). Temperatur dapat pula menyebabkan perubahan fase tetapi pengaruhnya tidak sekuat pengaruh konsentrasi. Kristal cair semacam ini dinamakan kristal cair lyotropik (untuk selanjutnya ditulis KCL). KCL ini tersusun atas dua atau banyak komponen. Biasanya salah satu komponen KCL adalah amfipilik (terdiri atas kelompok ujung yang polar dan rantai hidrokarbon), dan komponen lainnya adalah air. Sistem air-sabun merupakan contoh KCL. Pada sistem ini terdapat anion alifatik  $\text{CH}_3(\text{CH}_2)_{n-2}\text{CO}^-$  (dengan n antara 12 - 20) dan ion positif ( $\text{Na}^+$ ,  $\text{K}^+$ ,  $\text{NH}_4^+$ , atau yang lain). Ujung polar asam (seperti gugus- $\text{CO}_2^-$ ) cenderung menarik molekul-molekul air, sebaliknya rantai alifatik non polar menjauhi air. Fenomena ini dapat membentuk sistem lamellar atau sistem heksagonal (gambar 2.3) atau yang lainnya.



Gambar 2.2. Diagram fasa larutan poli-p-benzamida dalam dimetil asetamida/litium chlorida.  
(sumber : Finkelman & Rehage, 1984, hal. 67).



Gambar 2.3 Sistem asam-air. Gambar (a) adalah sistem lamellar, dan (b) adalah sistem heksagonal.

Selanjutnya pembahasan kristal cair dalam penelitian akan difokuskan pada KCT. Berdasarkan strukturnya, KCT oleh G. Friedel tahun 1922 (de Gennes, 1974) dikelompokkan menjadi tiga, yaitu :

1. Kristal cair nematik (untuk selanjutnya dinamakan nematik).
2. Kristal cair Kolesterolik (untuk selanjutnya dinamakan kolesterolik).
3. Kristal cair smektik (untuk selanjutnya dinamakan smektik).

### 2.1.1. Nematik

Kata nematik berasal dari bahasa Yunani nema, artinya benang. Ciri utama struktur nematik adalah keteraturan orientasi berjangkau panjang (long range orientational order) ; molekul-molekulnya cenderung paralel pada satu sumbu tertentu. Sumbu yang dicenderungi ini merupakan arah nematik, dan biasanya ditandai oleh unit vektor  $\vec{n}$  (gambar 2.4).



Gambar 2.4. Susunan molekul-molekul nematik. Arah orientasi molekul ditandai dengan  $\vec{n}$ .

Pusat massa molekul nematik terdistribusi secara uniform dalam medium. Secara posisi tidak terdapat keteraturan berjangkauan panjang, tetapi tersusun dari keteraturan berjangkauan pendek seperti cairan biasa, sehingga tidak ada puncak Bragg dalam pola difraksi sinar-X.

Arah orientasi molekul  $n$  dan  $-n$  tidak terbedakan. Sifat ini menyebabkan sistem dalam nematic invariant terhadap pergeseran  $\vec{n} \rightarrow -\vec{n}$ . Secara optis nematik merupakan medium yang uniaksial dan tidak mempunyai polaritas.

Nematic hanya timbul pada bahan-bahan yang tidak terbedakan antara sistem putar kanan dan sistem putar kiri (de Gennes, 1974). Setiap molekul harus identik dengan bayangan cerminnya (achiral) atau sistem harus merupakan campuran rasemik (1:1) antara bahan putar kanan dan bahan putar kiri.

Nematic dapat mengalir semudah cairan organik (Pershann, 1988). Molekul-molekulnya bergerak bebas dalam semua arah dan menjaga orientasi rata-rata sepanjang arah  $\vec{n}$ . Sebagai contoh, nematic dari senyawa para-azoxy anisole viskositasnya  $\sim 10^{-2}$  Pa.s, dan sebagai perbandingan viskositas air pada suhu kamar  $\sim 10^{-3}$  Pa.s.

Fluktuasi termal pada bahan nematic akan menyebabkan deviasi penjajaran molekul-molekul. Sumbu-sumbu molekul membentuk sudut terhadap sumbu orientasi. Distribusi sudut ini dapat dinyatakan dengan parameter keteraturan (akan dibahas bab 2.3), dan dapat melukiskan derajat keanisotropan bahan.

Penambahan kalor pada bahan nematic akan menyebabkan transisi menjadi cairan isotrop. Besarnya kalor bergantung pada jenis senyawa nematic. Transisi nematic-isotrop mempunyai entalpi relatif kecil - bervariasi antara 0,1 - 4 kJ/mol (Pershann, 1988).

### 2.1.2. Kolesterik

Kolesterik dapat dipandang sebagai nematic terputar. Molekul-molekulnya memiliki keteraturan orientasi berjangkauan panjang. Pusat massa molekulnya terdistribusi secara acak seperti dalam nematic dan tidak ada puncak-puncak Bragg dalam pola difraksi sinar-X.

Secara lokal kolesterik mirip dengan nematic. Orientasi molekul menunjukkan sumbu yang dicenderungi dan ditandai oleh arah  $\vec{n}$ . Arah  $\vec{n}$  ini tidak tetap dalam ruang. Konformasi yang dicenderungi adalah heliks (gambar 2.4). Bila sumbu Z merupakan sumbu heliks, maka  $\vec{n}$  mempunyai arah :

$$\begin{aligned}n_x &= \cos (t_0 Z + \theta) \\n_y &= \sin (t_0 Z + \theta) \\n_z &= 0\end{aligned}\quad (2-1)$$

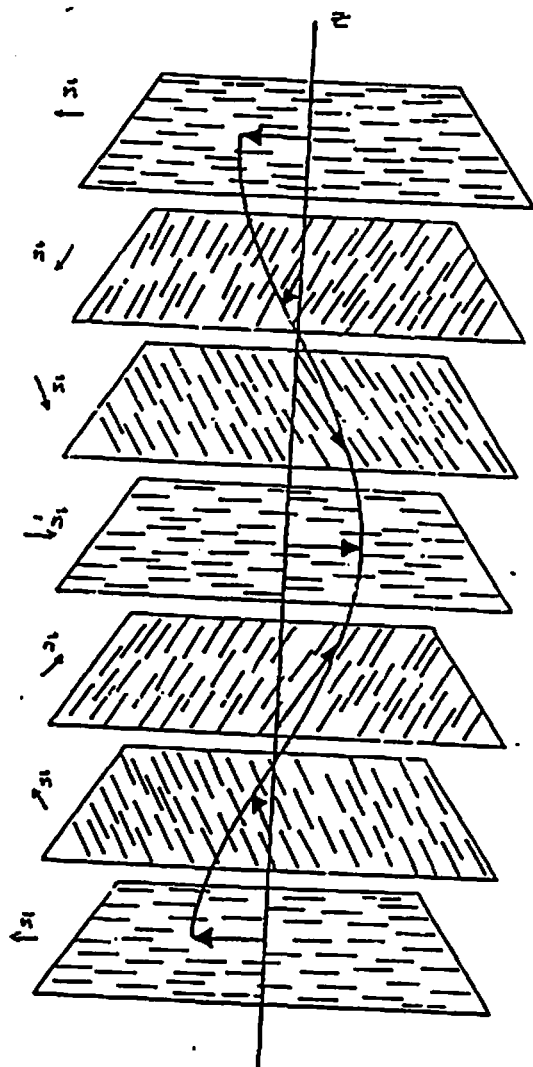
Struktur heliks pada kolesterik berperiodik sepanjang sumbu Z. Bila  $\vec{n}$  dan  $-\vec{n}$  ekuivalen, periodonya ( $L$ ) adalah setengah pitch :

$$L = 1/2 P = \frac{\pi}{|t_0|} \quad (2.2)$$

dengan  $P$  : pitch, yaitu panjang sumbu heliks bila  $\vec{n}$  berotasi satu putaran penuh.

$t_0$  : vektor propagasi.

Periode  $\vec{n}$  berorde  $\sim 0,3 \mu\text{m}$  dan sebanding dengan panjang gelombang tampak (Wissbrun, 1981).



**Gambar 2.5.** Susunan molekul-molekul dalam kolesterolik  
Arah orientasi n berputar secara periodik  
membentuk sumbu heliks z.

Besar dan tanda  $t_o$  kolesterol mempunyai arti yang penting. Tanda akan membedakan heliks putar kanan dan heliks putar kiri. Bila vektor propagasi  $t_o$  positip, diperoleh heliks putar kanan. System ini dapat ditemukan pada kolesterol klorida. Bila  $t_o$  negatip, diperoleh heliks putar kiri. Sistem ini banyak ditemukan pada ester alifatik kolesterol.

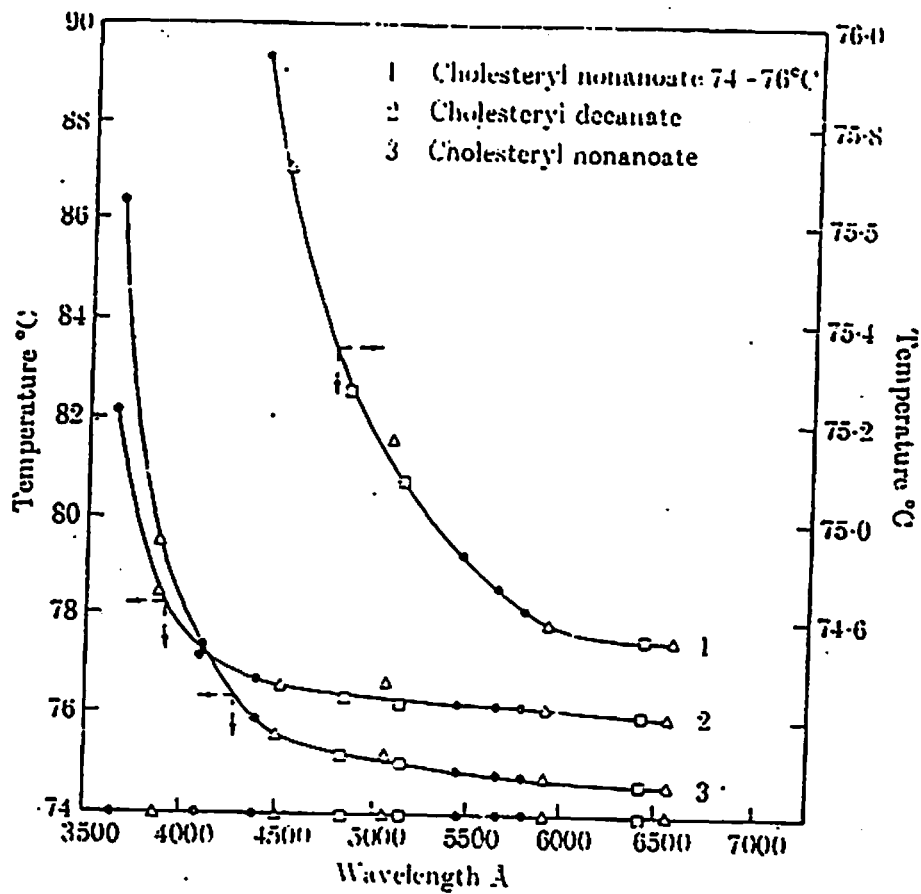
Perubahan temperatur kolesterol akan mengubah harga  $t_o$  (gambar 2.6). Perubahan temperatur kolesterol ini diikuti pula dengan perubahan warnanya (tabel 2.1.). Perubahan warna ini berkaitan dengan perubahan jarak antar bidang atau perubahan panjang pitch, dan kuat lemahnya interferensi.

Tabel 2.1

Perubahan Warna sebagai fungsi temperatur ( $^{\circ}\text{C}$ ) dalam kolesterol (sumber : Castellano, 1978)

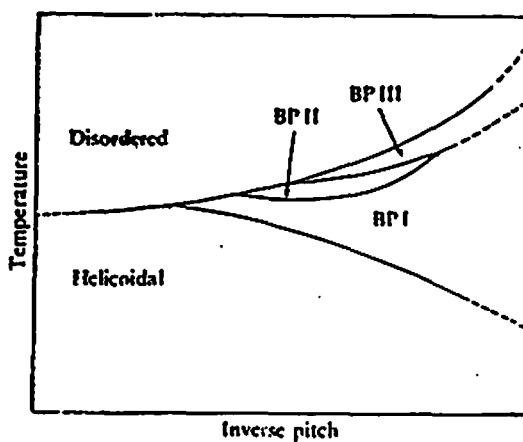
Human body temperature	36,9
Colorless → red	39,5
Red → orange	39,7
Orange → yellow	40,0
Yellow → green	40,2
Green → Cyan	40,6
Cyan → blue	41,2
Blue → violet	42,0
Violet → colorless	43,0

MILIK  
PERPUSTAKAAN  
UNIVERSITAS AIRLANGGA  
SURABAYA



Gambar 2.6 Hubungan antara pitch dan temperatur pada kolesterolik (sumber : de Gennes, 1974 hal. 10)

Kolesterik yang memiliki pitch rendah, kurang dari 500 nm (Chadraskhar, 1992) dapat menunjukkan "fase biru". Fase biru ini timbul hanya pada interval suhu yang kecil ( $\sim 1^\circ \text{ C}$ ), antara fase kolesterik dengan fase isotropik. Fase biru dapat dibedakan menjadi tiga, yaitu; fase biru I, fase biru II, dan fase biru III, sesuai dengan pertambahan temperaturnya (gambar 2.7). Fase biru I struktur molekulnya membentuk body-centered cubic lattice. Fase biru II struktur molekulnya membentuk simple cubic lattice, dan fase biru III struktur molekulnya amorf (Collings, 1990 & Chandrasekhar, 1992).



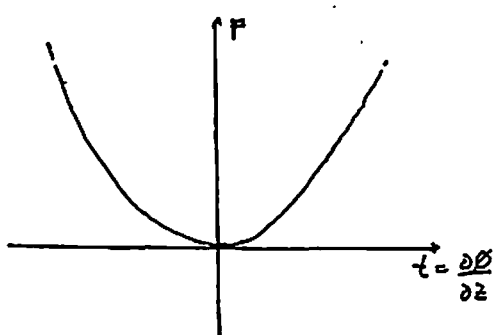
Gambar 2.7 Diagram fase pada fase biru  
(sumber : Chandrasekhar, 1992, hal. 292).

Banyak senyawa-senyawa kristal cair yang hanya merupakan fase kolesterik. Tidak ada senyawa yang telah diketahui memiliki fase nematik dan kolesterik (de Gennes, 1974).

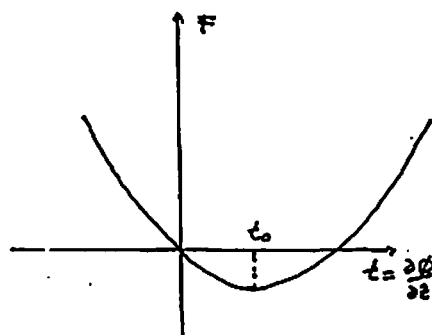
Kolesterik terdapat hanya pada sistem yang non rasemik. Bila arah putaran kolesterik  $n_x = \cos \theta(z)$ ,  $n_y = \sin \theta(z)$  dan energi bebas  $F$  (per satuan volume) sebagai fungsi twist  $t = \frac{\partial \theta}{\partial z}$  maka:

- Bahan yang tidak terbedakan antara putar kanan dan putar kiri, plot  $F(t)$  harus simetri  $F(-t) = F(t)$ .  $F$  minimum pada saat  $t = 0$  (gambar 2.8 a), dan hal ini merupakan fase nematic.
- Bahan berbeda dari bayangan cerminnya (mirror image), plot  $F(t)$  tidak bersifat simetri. Nilai minimum  $F$  tidak pada  $t=0$  dan twist  $t_0$  optimum tidak sama dengan nol (gambar 2.8b). Sifat ini merupakan fase kolesterik.

Dengan demikian nematic dan kolesterik dapat dianggap dua sub klas dari famili yang sama. Bila sistem bersifat rasemik atau achiral dikelompokkan ke fase nematic, tetapi bila sistem berbeda dari bayangan cerminnya dikelompokkan ke fase kolesterik.



(a)



(b)

Gambar 2.8 Perubahan energi bebas  $F$  terhadap twist untuk sistem yang berbeda sifat fisinya. (a) plot sistem rasemik atau achiral. (b) plot sistem chiral.

Penambahan kalor pada bahan kolesterik akan menyebabkan taransisi menjadi cairan isotrop. Entalpinya relatif kecil, antara 0,8 – 2,2 kJ/mol (Pershann, 1988).

### 2.1.3. Smektik

Istilah smektik berasal dari bahasa Yunani Smegma, artinya sabun. Nama ini diberikan oleh G. Friedel (de Gennes, 1974), untuk mencirikan kristal cair yang sifat mekaniknya menyerupai sabun.

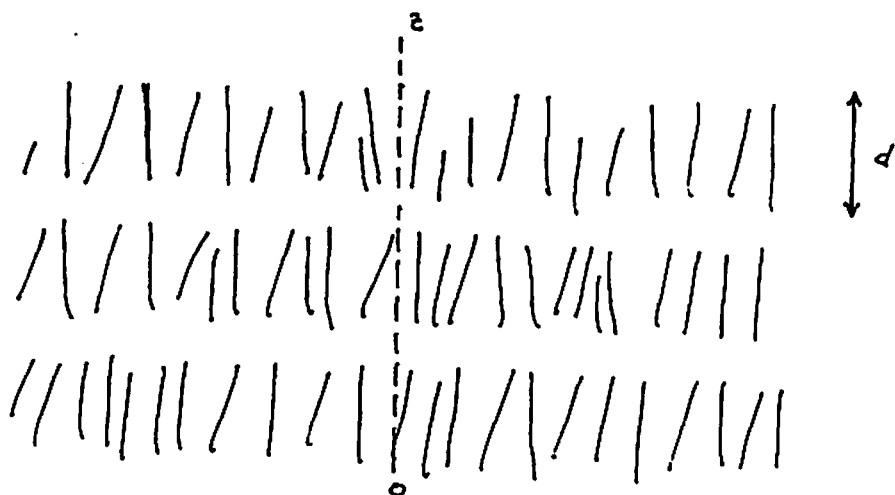
Smektik memiliki keteraturan susunan molekul lebih baik dari nematik atau kolesterik. Molekul-molekulnya tersusun dalam lapisan-lapisan. Lapisan-lapisan molekul ini ada yang teratur dan ada yang tidak teratur. Pada kelompok pertama, molekul-molekul pada lapisan memiliki keteraturan berjangkauan panjang dan tersusun dalam dua dimeensi. Kelompok kedua, molekul-molekul pada lapisan tidak mempunyai keteraturan berjangkauan panjang, dan pusat massanya terdistribusi secara acak.

Smektik dapat dikelompokkan menjadi beberapa subklas. Pengelompokan ini didasarkan pada struktur molekul lapisan dan sifat simetrinya (Johnson & Porter, 1974). Subklas smektik tersebut ditandai dengan huruf A sampai K dan yang diketahui dengan baik adalah  $S_A$ ,  $S_B$ , dan  $S_C$ .

**Smektik A ( $S_A$ )**

Susunan molekul-molekul smektik A ditunjukkan oleh gambar 2.9. Fase ini mempunyai ciri-ciri sebagai berikut:

1. Strukturnya berbentuk lapisan-lapisan, dengan tebal lapisan sama dengan panjang molekul bahan.
2. Dalam setiap lapisan, pusat massa molekul tidak menunjukkan keteraturan berjangkauan panjang.
3. Secara optis,  $S_A$  merupakan sistem uniaksial. Sumbu optik  $O_z$  normal terhadap bidang lapisan .
4. Arah Z dan -Z ekuivalen.



Gambar 2.9. Struktur molekul dalam smektik A.  $O_z$  adalah sumbu optik, dan tebal lapisan adalah  $d$  /

Sifat (1) dan (2) bersama-sama mendefinisikan tipe keteraturan berdimensi satu. Sifat (3) dan (4) mirip dengan sifat nematic. Bila nematic didoping dengan bahan yang enantiomorf akan menjadi kolesterik, distorsi serupa ini tidak terjadi pada  $S_A$ .

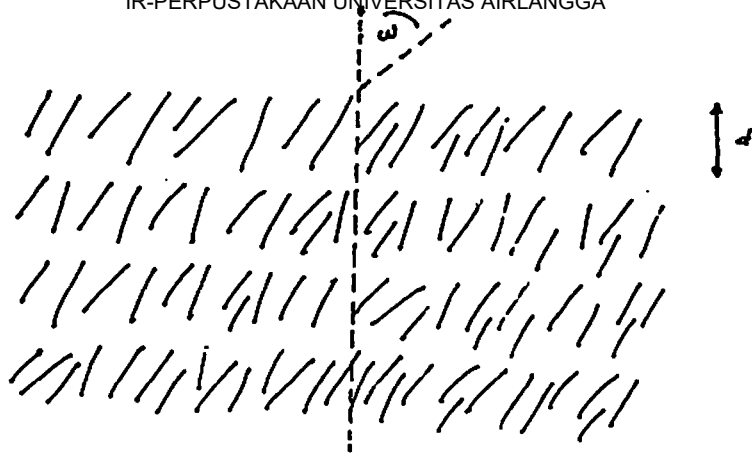
Penambahan kalor pada  $S_A$  akan menyebabkan transisi menjadi nematic atau kolesterik. Entalpiya berkisar antara 0,8 - 2,2 kJ/mol.  $S_A$  dapat pula bertransisi langsung menjadi isotrop, dengan entalpi 6-8 kJ/mol (Pershann, 1988).

### *Smektik C ( $S_C$ )*

Smektik C memiliki struktur molekul dan sifat yang berbeda dengan  $S_A$ . Fase ini mempunyai ciri-ciri sebagai berikut :

1. Pusat massa molekul setiap lapisan tidak memiliki keteraturan berjangkauan panjang. Struktur ini sama dengan struktur  $S_A$ .
2. Secara optis bahan-bahan smektik C merupakan sistem biaksial.

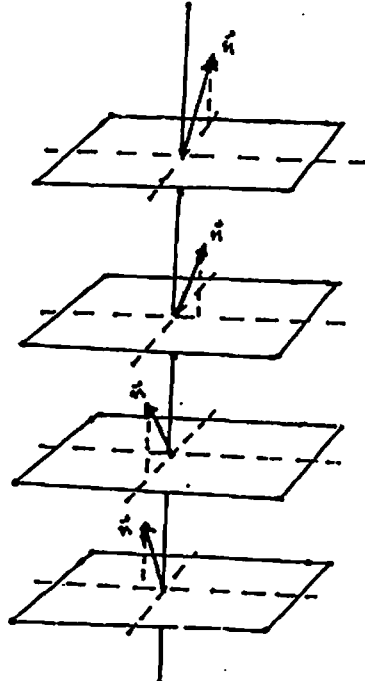
Tebal lapisan  $S_C$  tidak sama dengan panjang molekul penyusunnya. Sumbu panjang molekul  $S_C$  miring terhadap lapisan normal Z (gambar 2.10). Sejumlah eksperimen dengan sinar-X (Johnson & Porter, 1974) menunjukkan bahwa tebal lapisan smektik C adalah  $d = L \cos \omega$ , dimana L adalah panjang molekul, dan  $\omega$  adalah sudut kemiringannya.



Gambar 2.10. Susunan molekul-molekul Smektik C. Sumbu molekul L membuat sudut  $\omega$  terhadap normal.

3. Struktur  $S_C$  yang dilukiskan (1) dan (2) di atas diperoleh hanya bila molekul-molekulnya bersifat optik tidak aktif atau campuran rasemik.

Bila ditambahkan molekul-molekul yang optis aktif pada  $S_C$ , strukturnya akan terdistorsi. Sumbu molekul miring terhadap sumbu Z dan membentuk konfigurasi heliks (gambar 2.11).

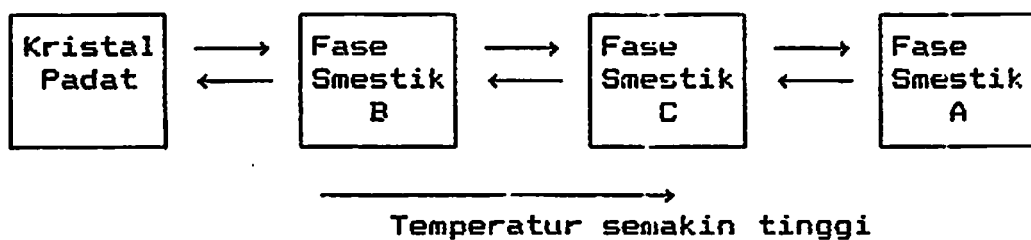


Gambar 2.11. Struktur molekul smektik C yang disebabkan oleh chiral

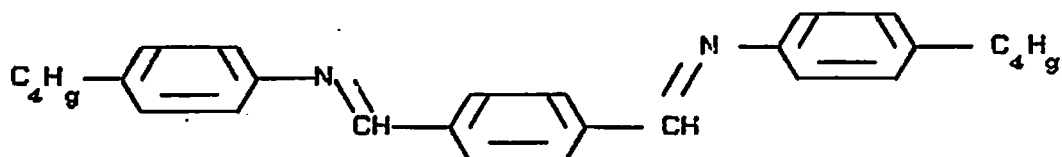
**Smektik B ( $S_B$ )**

Lapisan-lapisan molekul  $S_B$  berbeda dengan lapisan-lapisan molekul  $S_A$  dan  $S_C$ . Lapisan  $S_B$  memiliki periodisitas dan rigiditas padatan berdimensi dua, sehingga lapisan ini tidak seflexibel lapisan  $S_A$  atau lapisan  $S_C$ , dan tidak mudah mengalami pelengkungan lapisan. Lapisan-lapisan  $S_B$  memiliki keteraturan kristal heksagonal (de Gennes & Sarma, 1972).

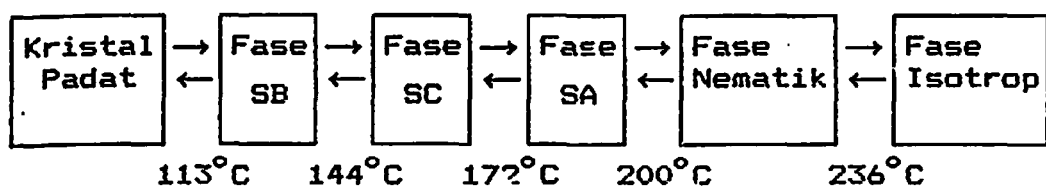
Struktur molekul  $S_B$  memiliki keteraturan lebih baik dari struktur molekul  $S_A$  dan  $S_C$ . Bila bahan dapat menunjukkan ketiga fase tersebut, urutan sesuai dengan pertambahan temperatur selalu :



Contoh bahan yang dapat menunjukkan semua fase di atas adalah terephthal-bis (para-butylaniline) (TBBA), dengan rumus kimia,



Temperatur transisi bahan TBBA ini adalah (de Gennes, 1974).



Berdasarkan simetrinya,  $S_B$  dapat dikelompokkan menjadi dua : Smektik  $B_A$  dan Smektik  $B_C$ . Molekul-molekul dalam smektik  $B_A$  normal terhadap lapisan, sedangkan susunan molekul-molekul dalam smektik  $B_C$  membentuk sudut terhadap lapisan.

#### Smektik Lain

Telah disebutkan bahwa smektik dapat dikelompokkan menjadi subklas  $S_A \dots S_K$ . Alasan Sackman dan Demus (de Gennes, 1974 dan Chandrasekhar, 1992) mengelompokkan smektik ini adalah berdasarkan pada sifat optik dan tidak adanya keidentikan secara sistematik.

Bila dua bahan X dan Y memiliki struktur sama dan identik dalam semua hal, maka X dan Y diklasifikasikan dalam kelompok yang sama. Bila tidak proporsi secara kontinu, tidak ada konklusi yang dapat diambil. Andai subkelompok bahan  $Y_1, Y_2, \dots Y_p$ , semua menunjukkan susunan  $S_B$ , semua saling ada keidentikan tetapi semuanya tidak ada yang identik dengan standar  $S_B$ , maka akan berkecenderungan untuk memberi label baru  $S_G$ .

Smektik D memiliki struktur kubik dengan  $10^9$  molekul per unit sel (Chandrasekhar, 1992). Smektik D timbul antara  $S_C$  dan  $S_A$  atau antara  $S_C$  dan fase isotropik.

Smektik E memiliki struktur lapisan yang derajat keteraturan molekulnya tinggi (Stephen & Straley, 1974). Struktur molekul  $S_E$  membentuk struktur orthorombik.

Smektik F memiliki struktur C-centered monoclinic (sumbu kristal  $a > b$ ). Molekulnya miring terhadap lapisan, seperti struktur molekul pada  $S_C$ .

Smektik G memiliki struktur kristal berdimensi tiga (three dimensional crystal), berbentuk C-centered monoclinic (sumbu kristal  $a > b$ ).

Smektik H memiliki struktur kristal berdimensi tiga, yang berbentuk monoclinic (sumbu kristal  $a > b$ ).

Smektik I memiliki struktur molekul berbentuk C-centered monoclinic (sumbu kristal  $b > a$ ) pada lapisannya. Molekul-molekulnya miring terhadap lapisan, seperti pada struktur molekul  $S_F$ .

Smektik J memiliki struktur kristal berdimensi tiga, yang berbentuk C-centered monoclinic (sumbu kristal  $b > a$ ).

Smektik K memiliki struktur kristal berdimensi tiga, yang berbentuk monoclinic (sumbu kristal  $b > a$ ).

## 2.2. Parameter Keteraturan

Fase nematic mempunyai simetri lebih rendah (lower simetry) dari pada cairan isotrop. Secara kualitatif dikatakan bahwa fase nematic lebih teratur dari pada cairan isotrop. Secara kuantitatif hal ini dapat dinyatakan oleh parameter keteraturan, yaitu suatu parameter yang dapat melukiskan derajat keteraturan orientasi molekul dan keanisotropan bahan nematic.

Bila  $\theta$  adalah sudut antara sumbu molekul dengan sumber simetri makroskopis nematic, maka parameter keteraturan dapat dinyatakan oleh

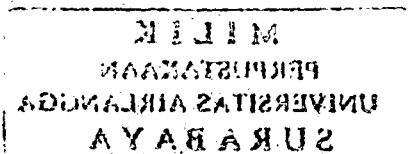
$$S = 1/2 (3 \cos^2\theta - 1) \quad (2.3)$$

Untuk keteraturan yang sempurna, yaitu semua molekul paralel dengan sumbu makroskopis,  $\cos^2\theta = 1$  dan  $S = 1$ . Untuk keadaan yang tidak teratur, yaitu susunan molekul-molekulnya acak,  $\cos^2\theta = 1/3$  dan  $S = 0$ . fase nematic dikarakterisasi oleh  $0 < S < 1$ , dan fase isotropik  $S = 0$ . Pengukuran  $S$  untuk molekul kristal cair umumnya bernilai  $0,4 - 0,7$  berhubungan dengan sudut orientasi RMS  $39 - 27^\circ$  (Wissbrun, 1981).

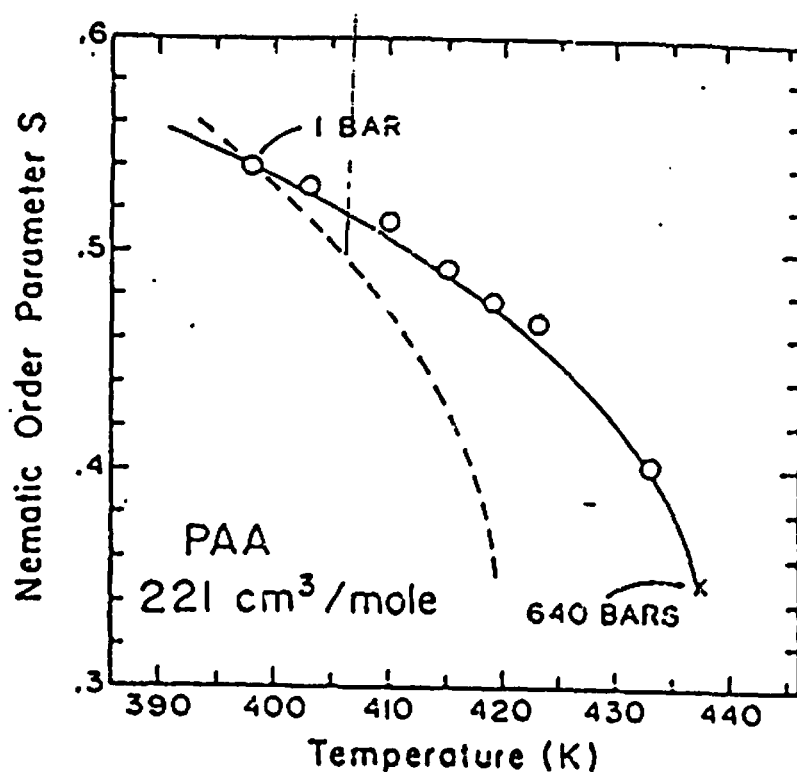
Parameter keteraturan  $S$  dapat ditulis sebagai tensor derajat dua (Pershann, 1988):

$$S_{ij} = \frac{1}{2} \langle 3 \cos\theta_i \cdot \cos\theta_j - \delta_{ij} \rangle \quad (2.4)$$

dengan  $i, j = x, y, z$  yaitu koordinat kartesian molekul  $x, y, z$ , dengan arah  $\vec{n}$ ;  $\langle \rangle$  adalah rata-rata dari semua molekul. Tensor ini simetris dan tracenya sama dengan nol.



Perubahan temperatur nematic akan mengubah susunan molekulnya. Semakin tinggi temperatur bahan, distribusi molekul penyusunnya semakin acak dan derajat keteraturannya semakin kecil (gambar 2.12)



Gambar 2.12 Parameter keteraturan nematic PAA versus temperatur (sumber : Stephen & Straley, 1974)

### 2.3. Kegunaan Kristal Cair

Secara optis, nematic dan smektik A bersifat uniaksial. Kolesterik, karena struktur periodiknya menimbulkan refleksi Bragg pada panjang gelombang optik. Nematic dan kolesterik merupakan bahan yang fleksibel dan sensitif terhadap gangguan eksternal yang lemah.

Senyawa nematic, sebagian besar turunan aromatik schiff base (Clark, Harrison & Raynes, 1980) banyak digunakan dalam teknologi display. Senyawa-senyawa tersebut biasanya dapat mengalami hamburan dinamik, yaitu hamburan yang disebabkan oleh ketidak stabilan elektro hidro dinamik.

Ada beberapa alasan mengapa nematic digunakan dalam sistem display. Energi konfigurasi kesetimbangannya kecil, sehingga tenaga yang diperlukan kecil, harganya murah, dan fleksibilitas design yang memungkinkan pembentukan dan penampilan menarik di pasaran. Misalnya untuk arloji, jam, kalkulator, meteran panel digital.

Pitch kolesterik bergantung pada temperatur dan warna bahan tersebut berubah tajam oleh perubahan kecil temperatur (tabel 2.1). Hal ini dapat dimanfaatkan dalam thermal mapping komponen elektronik, alat pengujian aerodinamika, penentuan lintasan sistem syaraf dan peredaran darah (Castellano, 1979), pendekripsi tumor payudara (de Gennes, 1974).

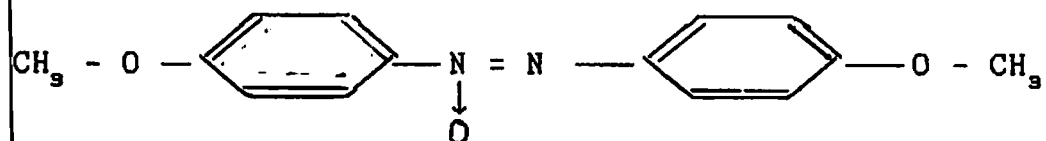
Dalam bidang bisnis, kolesterolik dapat digunakan sebagai mainan anak-anak dan memberi efek dekoratif pada suatu permukaan. Dengan membuat pola warna-warni pada permukaan (tembus cahaya atau tak tembus cahaya), akan memberikan keindahan bahan tersebut. Misalnya pada logam, kain tenun, kulit, keramik, dan kertas.

Kenyataan di atas menyebabkan penggunaan nematic dan kolesterolik berkembang pesat sejak tahun 1965. Sebaliknya, viskositas yang tinggi menyebabkan smektik kurang menarik dalam perindustrian. Namun demikian, smektik masih dapat digunakan dalam berbagai hal seperti : detergen dan membran biofisik (de Gennes, 1974). Smektik A sangat sensitif terhadap gangguan mekanik, suatu petunjuk penting untuk penggunaan lebih lanjut. Jadi kristal cair (khususnya KCT) merupakan bahan yang menarik dalam dua dekade terakhir dan yang akan datang.

#### 2.4. Struktur Kimia Nematic

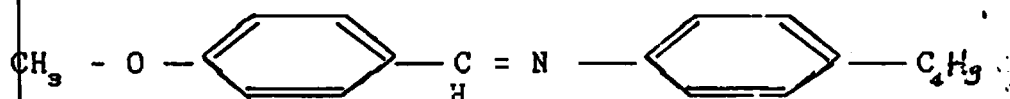
Nematic terdapat pada senyawa-senyawa organik dari berbagai senyawa kimia. Misalnya; senyawa asam, senyawa azo atau azoxy, (Stephen & Straley, 1974). Molekul-molekulnya dapat terulur dan memiliki senyawa siklis, yang dihubungkan oleh ikatan rangkap. Ikatan rangkap ini memberikan kekakuan molekul dan mencegah pelenturan sumbu.

Contoh senyawa yang membentuk nematic adalah paraazoxoxyanisole (PAA).

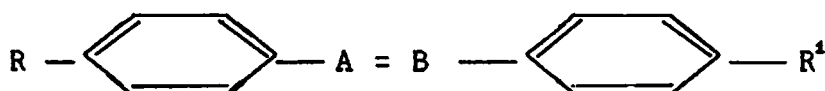


Molekul ini dapat dipandang sebagai batang kaku, dengan panjang ~ 20 Å dan lebar ~ 5 Å (de Gennes, 1974). Keadaan nematic terbentuk pada temperatur 116 °C - 135°C tekanan atmosfir.

Contoh senyawa lain yang dapat membentuk nematic adalah N - (P - methoxy bentylidine) - P - butylaniline (MBBA).



Senyawa MBBA ini merupakan senyawa nematic pada temperatur 20°C - 47°C tekanan atmosfir. Secara umum senyawa-senyawa nematic terdiri atas senyawa siklis yang dihubungkan oleh ikatan rangkap dan memiliki pola yang hampir sama yaitu;



R dan R' merupakan senyawa kimia rantai pendek dan fleksibel. Ikatan A - B merupakan ikatan rangkap, berfungsi memberikan kekakuan molekul dan menjaga pelenturan sumbunya.

## BAB III

### RESPON CAIRAN POLIMER NEMATIK

Di Bab 2 telah diuraikan tentang sifat-sifat dan struktur nematic. Bahan ini banyak ditemukan dalam bahan organik, sehingga memiliki susunan molekul yang berbeda dengan cairan isotrop. Dalam rheologi bahan ini sering dinamakan fluida non - Newton, sedangkan cairan isotrop dinamakan fluida Newton. Pengkategorian ini lebih spesifik ditujukan pada perbedaan sifat viskositasnya.

Viskositas fluida Newton tidak bergantung laju geser dan berharga konstan. Berbeda dengan Newtonian, fluida non Newton memiliki viskositas yang bergantung pada laju geser. Berkaitan dengan hal ini terdapat istilah "Shear thinning" dan "Shear thickening" pada fluida non-Newton. Viskositas bersama dengan modulus ini selanjutnya dinamakan fungsi bahan, yang merupakan respon fluida bila dikenakan gaya eksternal.

Bab ini akan membahas aliran geser dan responnya. Dimulai dari deskripsi tentang aliran geser secara umum, kemudian khusus untuk aliran geser osilasi dan responnya

#### 3.1. Aliran Geser.

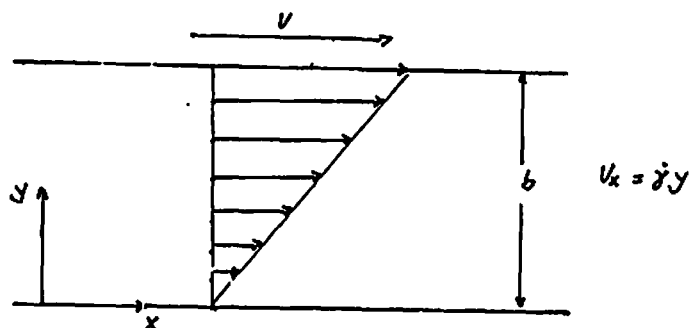
Terdapat dua macam aliran yang sering digunakan untuk mengkarakterisasi cairan polimer nematic yaitu; aliran geser sederhana dan aliran geser bebas .

**A. Aliran Geser Sederhana (Simple Shear Flow).**

Aliran geser sederhana dikarakterisasi oleh persamaan (Bird, et.al, 1987)

$$v_x = \dot{\gamma}_{yx} Y ; \quad v_y = 0 ; \quad v_z = 0 \quad (3-1)$$

dengan gradien kecepatan  $\dot{\gamma}_{yx}$  merupakan fungsi waktu. Nilai absolut  $\dot{\gamma}_{yx}$  dinamakan laju geser  $\dot{\gamma}$ . Untuk aliran geser tunak (Steady shear flow) laju geser tidak bergantung waktu. Aliran geser sederhana dapat diperoleh dengan menempatkan bahan pada dua plat sejajar (Gambar 3.1).



Gambar 3.1 Aliran geser sederhana dengan laju geser  $\dot{\gamma} = V/b$

**B. Aliran Geser Bebas (Shearfree flow)**

Aliran geser bebas dikarakterisasi oleh persamaan (Bird, et.al, 1987)

$$\begin{aligned} v_x &= -\frac{1}{2} \dot{\epsilon} (1+b)x \\ v_y &= -\frac{1}{2} \dot{\epsilon} (1-b)y \\ v_z &= \dot{\epsilon} z \end{aligned} \quad (3-2)$$

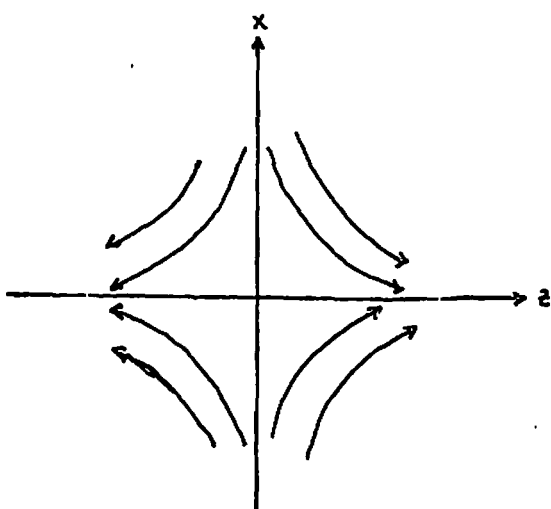
dengan  $0 \leq b \leq 1$  dan  $\dot{\varepsilon}$  adalah laju elongasional (elongational rate) yang bergantung waktu. Untuk beberapa kasus, dengan memiliki parameter  $b$  terdapat istilah;

Elongational flow ( $b = 0, \dot{\varepsilon} > 0$ )

Biaxial stretching flow ( $b = 0, \dot{\varepsilon} < 0$ )

Planar elongational flow ( $b = 1$ )

Aliran elongasional ( $b = 0$ ) secara sederhana diilustrasikan oleh gambar 3.2.



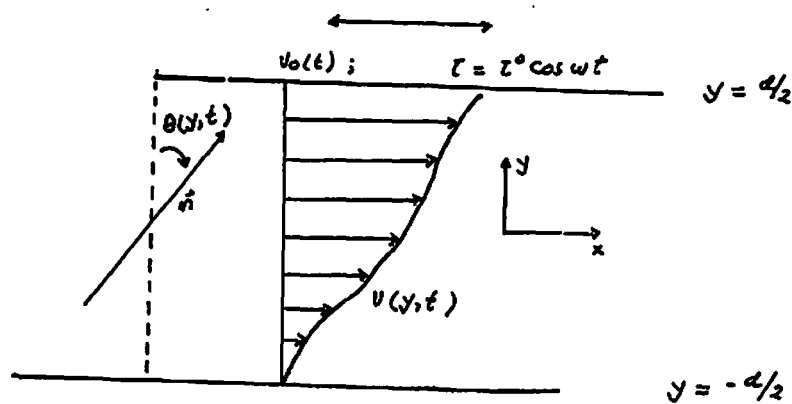
Gambar 3.2. Aliran elongasional tunak (Shearfree flow) dengan  $b = 0$

### 3.2. Aliran Geser Osilasi.

#### 3.2.1. Analisis Geometri

Geometri dari persoalan yang dibahas dalam penelitian ini adalah sebagai berikut (gambar 3.3). Anggap aliran geser kristal cair nematik searah sumbu x, terletak antara dua plat sejajar yang dipisahkan jarak  $d$  dalam arah  $y$ .

Pelat bawah dijaga tetap, sedangkan pelat atas bergerak dengan kecepatan  $V_o(t)$  disebabkan oleh tegangan geser  $\tau(t) = \tau^o \cos \omega t$ . Arah nematic dianggap searah bidang geser dan dinyatakan oleh sudut  $\theta(y,t)$  yang dibuat oleh arah nematic mula-mula dengan sumbu  $y$  yang tegak lurus dua bidang pelat. Dengan demikian  $\theta = 0$  pada  $y = \pm 1/2 d$  dan maksimum  $\theta_m$  pada  $y = 0$ . Kecepatan fluida diberikan oleh  $V(y,t)$  dan profile kecepatannya tidak linier (Bughard & Fuller, 1990). Hal ini disebabkan oleh kebergantungan viskositas sistem pada arah orientasi nematic.



Gambar 3.3. Geometri aliran geser osilasi.

### 3.2.2. Persamaan Aliran Nematik

Untuk pengembangan persamaan aliran dalam geometri 3.3. digunakan model Leslie dan Ericksen. Model ini untuk menentukan persamaan konstitutive yang menghubungkan antara tegangan dengan laju regangan lokal dan arah orientasi nematic (Leslie, 1979).

Dari geometri gambar 3.3, persamaan konstitutive kesetimbangan torsinya adalah (Bughardt & Fuller, 1990)

$$(\alpha_s - \alpha_z) \frac{\delta\theta}{\delta t} = h(\theta) \frac{\delta^2\theta}{\delta y^2} + \frac{dh}{d\theta} \left( \frac{\delta\theta}{\delta y} \right)^2 + \left[ \alpha_s \sin^2\theta - \alpha_z \cos^2\theta \right] \frac{\delta V}{\delta y} \quad (3-3)$$

dan,

$$h(\theta) = k_1 \sin^2\theta + k_3 \cos^2\theta \quad (3-4)$$

$\alpha_i$  adalah fenomenologi koefisien viskositas leslie, dan  $K_1, K_3$  secara berturut-turut adalah konstanta elastik distorsi splay dan bend. Untuk konstanta elastik twist ( $K_2$ ) tidak muncul karena nematik dibatasi pada bidang yang tipis, sehingga distorsi memuntir dianggap tidak terjadi.

Suku terakhir yang mengandung  $\frac{\delta V}{\delta y}$  menyatakan torsion hidrodinamik. Untuk  $\alpha_s < 0$ , torsion hidrodinamik diabaikan (Leslie, 1979), karena tidak ada distorsi arah sehingga tidak ada efek elastik.

Untuk menentukan profile arah orientasi digunakan persamaan kesetimbangan momentum linier dan kesetimbangan torsion terhadap arah serta persamaan konstitutive yang menghubungkan antara tegangan dan gradien kecepatan lokal.

Dengan asumsi aliran geser rektilinier dengan gradien hanya dalam arah Y dan mengabaikan semula unsur inersia, kesetimbangan momentum linier menghasilkan tegangan geser yang uniform sepanjang fluida dan sama dengan tegangan yang bekerja pada pelat atas  $\tau(t)$ .

Persamaan konstitutive kinematika tersebut adalah  
 IR-PERPUSTAKAAN UNIVERSITAS AIRLANGGA  
 (Bughardt & Fuller, 1990).

$$\tau = g(\theta) \frac{\delta V}{\delta y} + (\alpha_2 \cos^2 \theta - \alpha_3 \sin^2 \theta) \frac{\delta \theta}{\delta t} \quad (3-5)$$

dimana fungsi viskos  $g(\theta)$  diberikan oleh ,

$$g(\theta) = \alpha_1 \sin^2 \theta \cos^2 \theta + \eta_1 - (\alpha_2 + \alpha_3) \sin^2 \theta \quad (3-6)$$

dan  $\eta_1$  adalah viskositas Miesowicz  $\eta_1 = (-\alpha_2 + \alpha_4 + \alpha_5)/2$ .

Analisis penelitian ini dibatasi pada profil arah yang mengalami distorsi kecil. Dengan menganggap  $\theta \ll 1$ , diperoleh pendekatan  $g(\theta) \approx \eta_1$  ,  $h(\theta) \approx k_3$ . Dengan demikian persamaan (3-3) dan (3-5) secara berturut-turut menjadi

$$(\alpha_3 - \alpha_2) \frac{\delta \theta}{\delta t} = K_3 \frac{\delta^2 \theta}{\delta y^2} - \alpha_2 \frac{\delta V}{\delta y} \quad (3-7)$$

$$\tau = \eta_1 \frac{\delta V}{\delta y} + \alpha_2 \frac{\delta \theta}{\delta t} \quad (3-8)$$

Subtitusi persamaan (3-8) dalam bentuk  $\frac{\delta V}{\delta y}$  ke persamaan (3-7) diperoleh :

$$[\mu_2 + \mu_1 - \mu_1^2] \frac{\delta \theta}{\delta T} = \frac{\delta^2 \theta}{\delta y^2} + \mu_1 E \cos WT \quad (3-9)$$

dengan:

IR-PERPUSTAKAAN UNIVERSITAS AIRLANGGA

$$\mu_1 = -\frac{\alpha^2}{\eta_1} \quad (3-9a)$$

$$\mu_2 = \frac{\alpha_s}{\eta_1} \quad (3-9b)$$

$$W = \omega \left[ \frac{\eta_1 d^2}{K_s} \right] \quad (3-9c)$$

$$E = \frac{\tau^o}{K_s/d^2} \quad (3-9d)$$

$$Y = -\frac{Y}{d} \quad (3-9e)$$

$$T = \frac{t}{\eta_1 d^2 / K_s} \quad (3-9f)$$

Waktu ( $T$ ) dan frekuensi ( $W$ ), keduanya dibentuk dari karakteristik viskositas ( $\eta$ ), konstanta elastik ( $K_s$ ) dan panjang ( $d$ ). Besaran  $E$  merupakan besaran tanpa dimensi dari tegangan geser osilasi.

Kecepatan pelat atas, ditentukan dengan mengintegrasikan persamaan (3-8),

$$V_o(T) = \frac{V_o}{K_s/(\eta_1 d)} = \int_{-1/2}^{1/2} \left[ E \cos WT + \mu_1 \cdot \frac{\delta \theta}{\delta t} \right] dY \quad (3-10)$$

$V_o$  adalah "laju geser" makroskopik.

Persamaan (3-9) harus memenuhi syarat batas sedemikian hingga  $\theta = 0$  untuk  $Y = \pm \frac{1}{2}$ . Dengan asumsi  $|\theta| \ll 1$ , maka persamaan yang akan diturunkan bersifat linier. Bila diberikan gaya yang periodik maka respon bahan akan bersifat periodik pula.

Solusi persamaan (3-9), menyatakan kebergantungan profil arah terhadap waktu, adalah:

$$\theta(Y, T) = \theta_1(Y) \cos WT + \theta_2(Y) \sin WT \quad (3-11)$$

dimana:

$$\theta_1(Y) = \frac{\mu_1 E}{WP} \left[ \frac{f_1 f_4 - f_3 f_2}{f_2^2 + f_4^2} \right] \quad (3-12)$$

$$\theta_2(Y) = \frac{\mu_1 E}{WP} \left[ 1 - \frac{f_1 f_2 + f_3 f_4}{f_2^2 + f_4^2} \right] \quad (3-13)$$

dan dengan;

$$f_1 = \cosh \left[ \left( \frac{WP}{2} \right)^{1/2} Y \right] \cos \left[ \left( \frac{WP}{2} \right)^{1/2} Y \right] \quad (3-13a)$$

$$f_2 = \cosh \left[ \left( \frac{WP}{8} \right)^{1/2} Y \right] \cos \left[ \left( \frac{WP}{8} \right)^{1/2} Y \right] \quad (3-13b)$$

$$f_3 = \sinh \left[ \left( \frac{WP}{2} \right)^{1/2} Y \right] \sin \left[ \left( \frac{WP}{2} \right)^{1/2} Y \right] \quad (3-13c)$$

$$f_4 = \sinh \left[ \left( \frac{WP}{8} \right)^{1/2} Y \right] \sin \left[ \left( \frac{WP}{8} \right)^{1/2} Y \right] \quad (3-13d)$$

$$\text{dan } \rho = \mu_2 + \mu_1 - \mu_1^2.$$

Bila persamaan (3-10) di integrasikan, dan dengan memperhatikan persamaan (3-11) dan (3-12 dan (3-13) maka diperoleh laju geser efektif.

$$V_{o,1} = E \left[ 1 + \frac{\mu_1^2}{\rho} - \frac{\mu^2}{\rho(2W\rho)^{1/2}} \left( \frac{\sin(\frac{W\rho}{2})^2 + \sinh(\frac{W\rho}{2})^{1/2}}{\cosh^2(\frac{W\rho}{8})^{1/2} - \sin^2(\frac{W\rho}{8})^{1/2}} \right) \right]$$

....(3-15)

$$V_{o,2} = \frac{E \mu_1^2}{\rho(2W\rho)} \left[ \frac{\sin(\frac{W\rho}{2})^2 + \sinh(\frac{W\rho}{2})^{1/2}}{\cosh^2(\frac{W\rho}{8})^{1/2} - \sin^2(\frac{W\rho}{8})^{1/2}} \right] \quad (3-16)$$

Tampak bahwa tegangan dan laju geser efektif keduanya menunjukkan respon sinusiodal, tetapi berbeda fase. Dengan demikian respon makroskopik menunjukkan karakter viskoelastik. Fungsi viskoelastik (Bird, et.al, 1987) dalam hal ini adalah viskositas kompleks efektif.

$$\tilde{\eta}^1 = \frac{E V_{o,1}}{V_{o,1}^2 + V_{o,2}^2} \quad (3-17)$$

$$\tilde{\eta}'' = - \frac{E V_{o,2}}{V_{o,1}^2 + V_{o,2}^2} \quad (3-18)$$

dan modulus kompleks efektif;

$$\tilde{G}' = \tilde{\eta}'' W$$

$$= -\frac{WE V_{o,1}}{V_{o,1}^2 + V_{o,2}^2} \quad (3-19)$$

$$\tilde{G}'' = \tilde{\eta}' W$$

$$= -\frac{WE V_{o,1}}{V_{o,1}^2 + V_{o,2}^2} \quad (3-20)$$

## BAB IV

### HASIL DAN DISKUSI

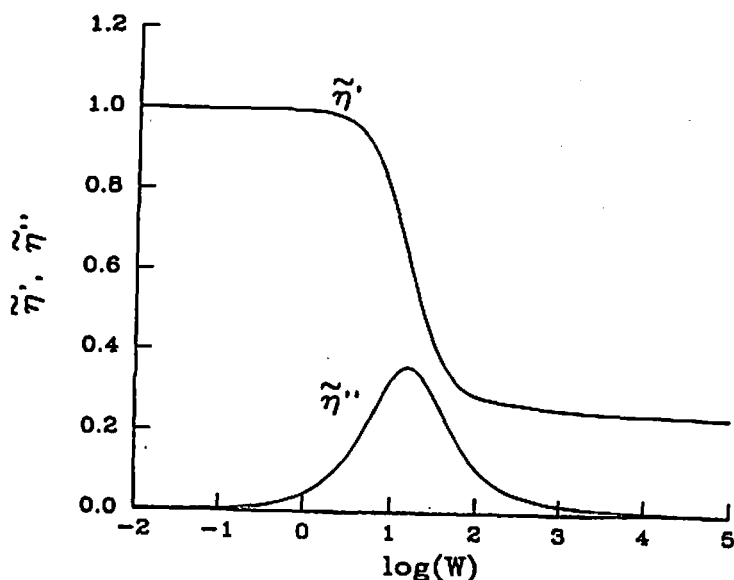
Sifat dan karakteristik respon nematic yang mengalami osilasi geser telah diformulasikan di bab 3. Respon nematic sebagai cairan fluida yang dimaksud adalah fungsi viskoelastik efektif; viskositas kompleks (viskositas real  $\bar{\eta}'$  dan viskositas imajiner  $\bar{\eta}''$ ) dan modulus kompleks (modulus real  $\bar{G}'$  dan modulus imajiner  $\bar{G}''$ ) yang telah didefinisikan oleh persamaan (3-15) - Pers. (3-20). Besaran-besaran efektif ini merupakan tanggapan makroskopik kristal cair nematic sebagai fluida. Pada frekuensi rendah,  $V_{0,2} = 0(W)$ , sedangkan pada frekuensi tinggi  $V_{0,2} = 0(W^{-1/2})$ . Dengan demikian kelakuan kedua limit ini menampakkan cairan Newton (Newtonian), dengan tanggapan dan laju geser efektif sefase. Dengan mengambil limit persamaan (3-15) dan persamaan (3-16) memberikan;

$$\lim_{W \rightarrow 0} \bar{\eta}' = 1 \quad \text{dan} \quad \lim_{W \rightarrow \infty} \bar{\eta}' = \frac{P}{P + \mu_i^2}$$

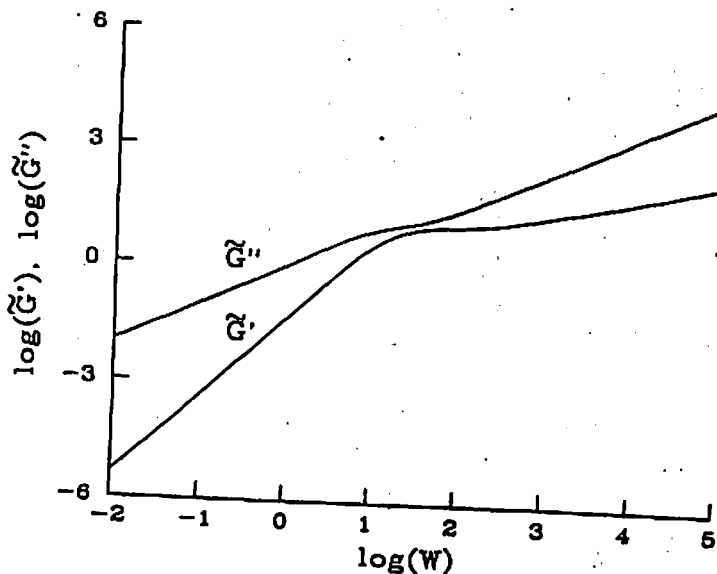
Pada frekuensi menengah, laju geser efektif dan tangapan geser tidak sefase, sehingga  $\bar{\eta}'$  menjadi signifikan. Kelakuan komponen-komponen viskositas kompleks efektif nematic MBBA terhadap frekuensi dilukiskan seperti gambar 4.1.. Pada frekuensi rendah,  $\bar{\eta}'$  berkelakuan tunak sementara (quasi-steady), viskositasnya tidak bergantung pada laju geser.

IR-PERPUSTAKAAN UNIVERSITAS AIRLANGGA

Di daerah ini, nematic merupakan fluida newton, kondisi awal (boundary Condition) berpengaruh terhadap respon makroskopiknya. Tunak sementara juga terjadi pada frekuensi tinggi, sehingga di daerah ini nematic berkelakuan sebagai fluida newtonian. Berbeda dengan frekuensi rendah, pada frekuensi tinggi kristal cair polimer nematic mengalami deformasi sehingga rantai-rantai polimernya putus. Akibatnya struktur nematic mengalami transisi menjadi cairan isotrop.



Gambar 4.1. Kelakuan komponen-komponen viskositas kompleks efektif  $\tilde{\eta}'$  dan  $\tilde{\eta}''$  terhadap frekuensi



Gambar 4.2. Kelakuan modulus kompleks efektif  $\tilde{G}'$  dan  $\tilde{G}''$  terhadap frekuensi.

Dengan demikian responnya menampakkan sebagai fluida newton, dimana efek viskos lebih berperan dari pada efek elastik. Pada frekuensi tinggi  $\eta'' \rightarrow \infty$ , energi bebas elastik distorsi masih tersimpan di lapisan-lapisan nematic dengan batas, sehingga modulus storage efektif terus bertambah seiring tingginya frekuensi (lihat gambar 4.2.).

Karena disipasi viskos dalam bahan bertambah linear terhadap frekuensi, efek elastik ini menjadi kecil pada frekuensi tinggi. Dari gambar (4.1) dan gambar (4.2), tampak bahwa hanya pada interval frekuensi menengah, elastisitas distorsi menimbulkan karakter elastik yang disignifikan dalam respon makroskopik osilasi.

Pengabaian inersia fluida dalam analisis dapat dijelaskan dengan membandingkan karakteristik waktu oleh efek inersial dan relaksasi director dalam kristal cair sebagai berikut. Karakteristik waktu untuk efek inersial adalah  $t_{inertia} \approx \rho d^2/\eta$ , sedangkan karakteristik waktu relaksasi kristal cair adalah  $t_{lc} \approx \eta d^2/k$ . Karena kedua karakter waktu tersebut sama-sama bergantung pada jarak pelat  $d$ , maka inersia fluida dalam analisis ini hanya bergantung pada konstanta bahan. Untuk kristal cair bobot molekuler rendah [de Gennes, 1974].., diperoleh  $\eta = 1 \rho$ ,  $K = 10^6$  dyne dan  $\rho = 1\text{g/cc}$ , sehingga nisbah  $t_{lc}/t_{inertia} \approx 10^6$ . Dari perbandingan ini tampak bahwa  $t_{lc} \gg t_{inertia}$ , sehingga pengabaian inersia fluida dalam analisis ini dapat ditoleransi.

**BAB V**  
IR-PERPUSTAKAAN UNIVERSITAS AIRLANGGA  
**KESIMPULAN**

Respon kristal cair nematik oleh adanya aliran geser osilasi adalah sebagai berikut. Dalam frekuensi rendah dan tinggi, respon makroskopik didominasi oleh efek viskos yang secara berturut-turut disebabkan oleh adanya syarat batas awal dan torsi hidrodinamik. Pada frekuensi menengah, efek elestisitas distorsi (Frank) menimbulkan gejala viskoelastik dalam respon makroskopiknya, yang ditandai oleh nilai signifikan koefisien viskositas imaginer efektif  $\bar{\eta}''$  atau modulus storage efektif.

DAFTAR PUSTAKA  
IR-PERPUSTAKAAN UNIVERSITAS AIRLANGGA

- i, R.B., et.al.; *Dynamics of Polymeric Liquids*, Volume 1 John Wiley & Sons, New York, 1987.
- ghardt, W.R and G.G. Fuller,; *Transient Shear Flow of Nematic Liquid Crystals; Manifestations of Director Tumbling*, Journal of Rheology. 34, 959 (1990).
- tellano, *Aplication of Liquid Crystals*, Clarendon, 1979.
- Gennes, P.G., *The Physics of Liquid Crystals*, Oxford University Press, London, 1974.
- , M., *Molecular Dynamics and Rodlike Polymers in Isotropic and Liquids Crystalline Phases*, J. Polym. Sci. Polym. Phys. ed. 19, 229-243 (1981).
- ink, F., *Liquid Crystals in Liquid Crystals*, Journal of Non Newtonian, 1983.
- son, R.G and D.W. Mead, *Linear Viscoelasticity of Nematic Liquid Crystalline Polymers*, Journal of Rheology 33, 153-161 (1989).
- sbrun, K.F., *Rheology of Rod-like Polymers in the Liquid Crystalline state*, Journal of Rheology 25, 619-662 (1981).

MILIK  
PERPUSTAKAAN  
UNIVERSITAS AIRLANGGA  
SURABAYA